

МОСКОВСКИЙ ФИЗИКО-ТЕХНИЧЕСКИЙ ИНСТИТУТ  
(НАЦИОНАЛЬНЫЙ ИССЛЕДОВАТЕЛЬСКИЙ УНИВЕРСИТЕТ)

Физтех-школа фотоники, электроники и молекулярной физики

# Отчёт о выполнении лабораторной работы

## 5.2

Спектрометрия  $\alpha$ -излучения с помощью  
полупроводникового детектора

Автор:  
Макаров Лев Евгеньевич  
Б04-306

# 1 Введение

## Цель работы:

1. С помощью кремниевого поверхностно-барьерного детектора измерить спектры  $\alpha$ -частиц, испускаемых различными радиоактивными ядрами —  $^{226}_{88}\text{Ra}$ ,  $^{241}_{95}\text{Am}$  +  $^{230}_{90}\text{Th}$ ,  $^{239}_{94}\text{Pu}$  и  $\text{U}_{\text{пр}}$ .
2. По их величине определить энергию  $\alpha$ -частиц.
3. Проверить выполнение закона Гейгера-Неттола.

## 2 Теоретические сведения

### Свойства $\alpha$ -распада

Энергию вылетающих из ядра  $\alpha$ -частиц легко подсчитать на основе законов сохранения.

$$M_2c^2 = M_1c^2 + m_\alpha c^2 + T_1 + T_\alpha \quad (1)$$

$$\mathbf{p}_1 + \mathbf{p}_\alpha = 0 \quad (2)$$

Ясно, что вылет  $\alpha$ -частицы из ядра возможен лишь в том случае, если разность энергий покоя родительского и дочернего ядра будет больше энергии покоя  $\alpha$ -частицы. В силу того, что реально  $\alpha$ -распад испытывают лишь тяжелые ядра с  $A > 200$ , энергия отдачи ядра очень мала и фактически кинетическая энергия  $\alpha$ -частицы равна разности энергий покоя исходного и конечного ядер. Именно поэтому вылетающие  $\alpha$ -частицы имеют строго определенную энергию.

Однако экспериментально обнаружено, что энергетический спектр  $\alpha$ -частиц многих  $\alpha$ -активных ядер состоит из нескольких линий, одна из которых является преобладающей. В качестве примера на рис. 1 показан  $\alpha$ -спектр ( $^{212}_{83}\text{Bi}$ ).

Дискретность линий и их относительная интенсивность объяснимы, поскольку, во-первых,  $\alpha$ -частицы могут испускаться ядром, находящимся в возбужденном состоянии (так называемые длиннопробежные  $\alpha$ -частицы), а во-вторых, может происходить  $\alpha$ -распад из основного состояния родительского ядра на возбужденные состояния дочернего ядра (короткопробежные  $\alpha$ -частицы). На рис. 2 приведены два примера таких переходов — распад  $^{238}\text{Pu}$  и  $^{212}\text{Po}$ .

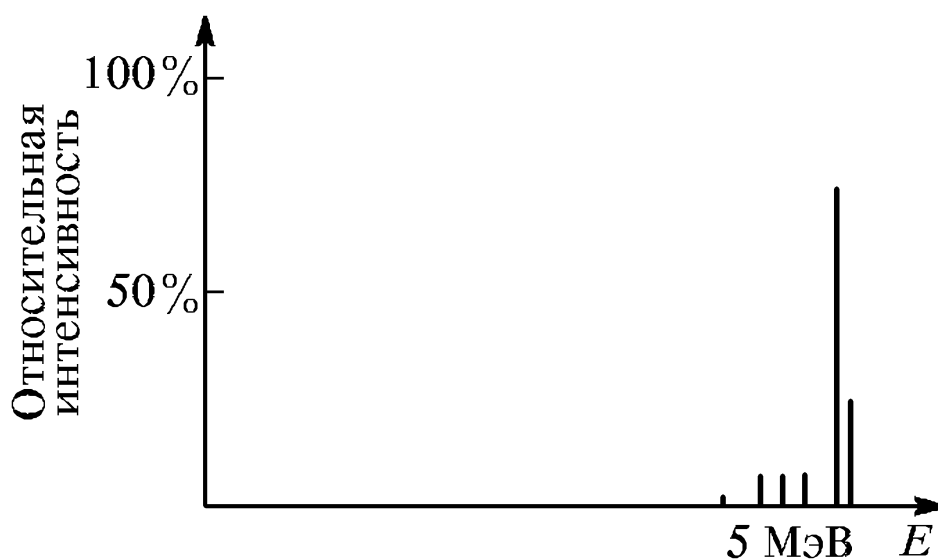


Рис. 1: Энергетический спектр  $\alpha$ -частиц, вылетающих при распаде  $^{212}_{83}\text{Bi}$

В первом случае ( $^{238}\text{Pu}$ )  $\alpha$ -частицы максимальной энергии соответствуют переходам из основного состояния  $^{238}\text{Pu}$  в основное состояние дочернего ядра. Кроме того,  $\alpha$ -распад может идти на возбужденные состояния дочернего ядра  $^{234}\text{U}$  с последующими  $\gamma$ -переходами в основное состояние. Распад  $^{212}\text{Po}$  — пример возможности испускания  $\alpha$ -частиц из возбужденного состояния. Такая ситуация возникает из-за того, что  $^{212}\text{Po}$  образуется в результате  $\beta$ -распада  $^{212}\text{Bi}$ . Находясь в возбужденном состоянии, ядро  $^{212}\text{Po}$  может либо испустить  $\alpha$ -частицу, либо путем  $\gamma$ -излучения перейти в основное состояние. Так как период полураспада для  $\alpha$ -частиц примерно в 105 раз больше периода  $\gamma$ -распада, то интенсивность длиннопробежных  $\alpha$ -частиц очень мала.

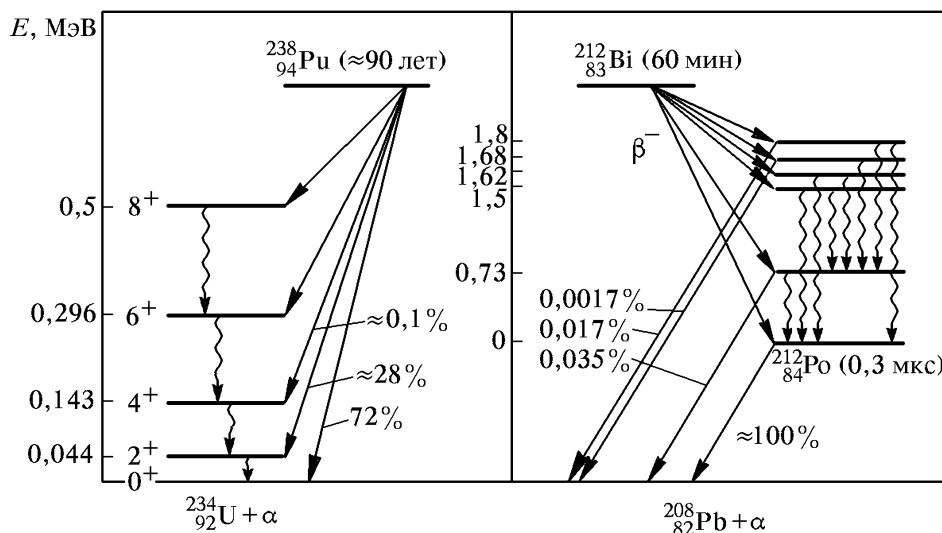


Рис. 2: Альфа-спектры распада ядер  $^{238}\text{Pu}$  и  $^{212}\text{Po}$

Возбужденные состояния обладают разными спинами и четностью, а значит, разность моментов количества движения исходного и конечного ядра должна уноситься  $\alpha$ -частицей. Иными словами,  $\alpha$ -распад происходит с изменением углового момента ядра. Как показывают простые

оценки, если  $\alpha$ -частица имеет малый импульс  $L$ , то величина возникающего центробежного барьера составляет в тяжелых ядрах примерно  $0.002L^2A^2 = 0.002l(l+1)$  часть от величины кулоновского барьера. Тем самым видно, что влияние центробежного барьера может быть существенным лишь для больших значений  $l$ . Тяжелые ядра, как правило, в основном состоянии деформированы (исключением являются магические ядра). Это означает, что низколежащими состояниями являются вращательные полосы, и именно на эти состояния обычно и происходит распад родительского ядра, приводящий к появлению группы короткопробежных  $\alpha$ -частиц. Как известно, энергия вращательных уровней определяется выражением

$$E_{\text{вр}} = \frac{\hbar}{2I}l(l+1) \quad (3)$$

Тем самым измерение тонкой структуры энергетического спектра  $\alpha$ -частиц дает возможность определить момент инерции ядра  $I$ . Периоды полураспада  $\alpha$ -активных ядер очень сильно зависят от энергии вылетающих частиц. Экспериментально установленная зависимость (закон Гейгера–Нэттола) имеет вид:

$$\lg T_{1/2} = \frac{a}{\sqrt{E_\alpha}} + b \quad (4)$$

Коэффициенты  $a$  и  $b$  очень слабо зависят от заряда ядра  $Z$ .

## Радиоактивные ряды

Семейство  $^{238}\text{U}$ , показанное на рис. 3, является нестабильной цепочкой превращений. Начинается с  $\alpha$ -активного изотопа урана  $^{238}_{92}\text{U}$ , который с периодом полураспада  $4.5 \cdot 10^9$  лет превращается в  $^{234}_{90}\text{Th}$  и т. д. Среди ядер этого семейства урана находится изотоп радия  $^{226}_{88}\text{Ra}$ , последовательность распадов которого изучается в данной работе. Очень скоро после приготовления моноизотопа  $^{226}_{88}\text{Ra}$  ( $T_{1/2} = 1617$  лет) в препарате накапливаются его дочерние продукты —  $^{222}_{86}\text{Rn}$  ( $T_{1/2} = 3.8$  дней),  $^{218}_{84}\text{Po}$  ( $T_{1/2} = 3$  мин) и  $^{214}_{82}\text{Pb}$  ( $T_{1/2} = 10$  с), которые сами являются  $\alpha$ -активными. Поэтому при измерении  $\alpha$ -спектра радия-226 мы фактически наблюдаем  $\alpha$ -частицы, испускаемые всеми его дочерними продуктами.

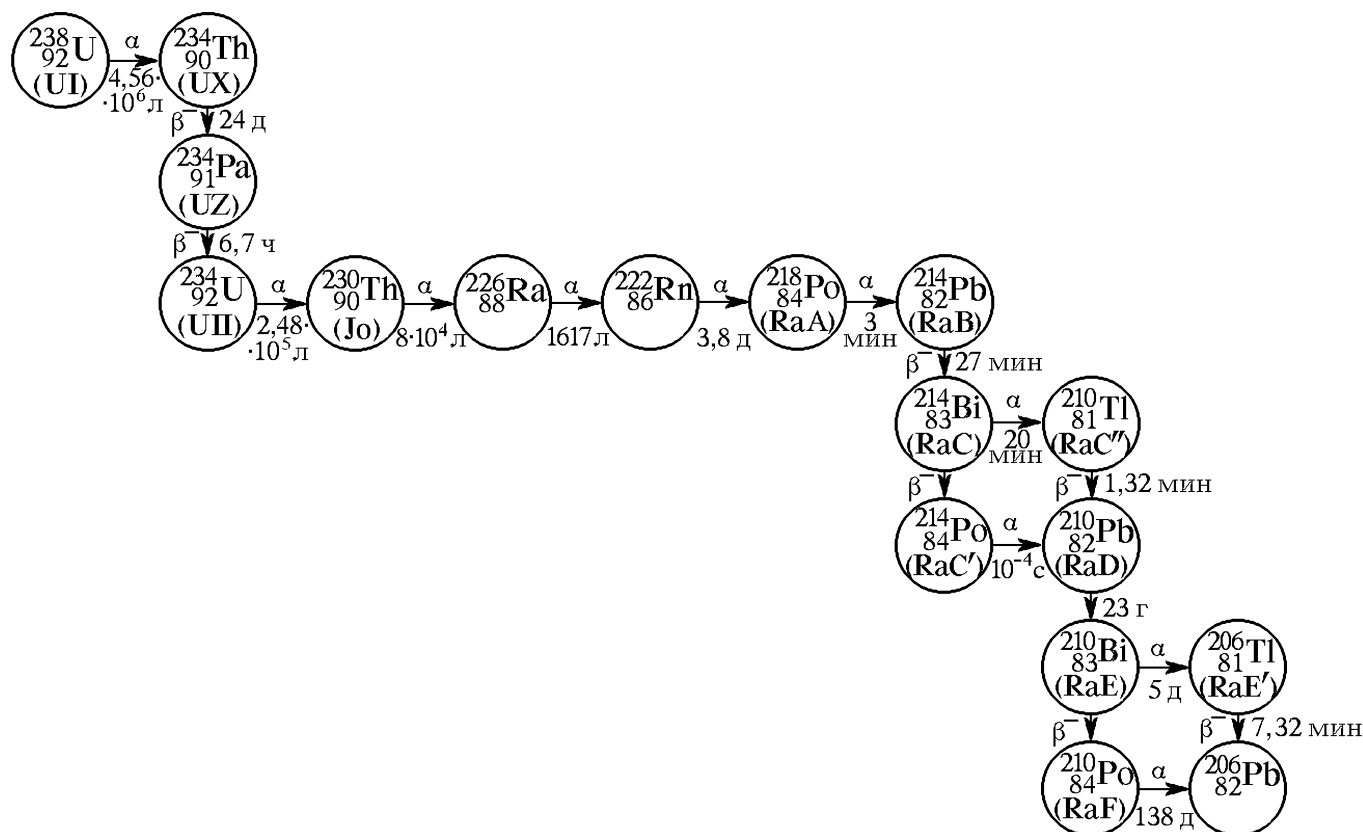


Рис. 3: Последовательность радиоактивных превращений  $^{238}\text{U} \rightarrow ^{206}\text{Pb}$

## 3 Экспериментальная установка

Основой установки является спектрометр  $\alpha$ -излучения. Конструктивно спектрометр выполнен в виде трех отдельных частей: измерительного модуля, персональной ЭВМ со встроенной платой амплитудноцифрового преобразователя (АЦП) и системы откачки СО вакуумной камеры ВК с блоком индикации БИ (см. рис. 4).

В измерительном блоке смонтированы:

- 1) вакуумная камера ВК, в которой расположен держатель образцов, поверхностно-барьерный полупроводниковый детектор и индикатор давления;
- 2) маломощный предварительный усилитель ПУ;
- 3) спектрометрический усилитель СУ с органами управления;
- 4) регулируемый блок низковольтного смещения БНС для питания детектора.

Вакуумный насос создает в измерительной камере давление не более 10-2 Тор. Полупроводниковый детектор регистрирует  $\alpha$ -частицы с энергиями от 3.5 до 9 МэВ, его энергетическое разрешение составляет не более 30 кэВ при энергии  $\alpha$ -частицы 5 МэВ.

В поверхностно-барьерных полупроводниковых счетчиках преобразование энергии падающих частиц в электрические импульсы происходит в области так называемого (р-п)-перехода. Такой переход создается в виде тонкого слоя на границе между областями с р- и п-проводимостью. При прохождении частицы через обедненный слой вдоль ее трека создаются электронно-дырочные пары. Образовавшиеся носители разносятся электрическим полем (р-п)-перехода в разные стороны — и через кристалл проходит токовый импульс.

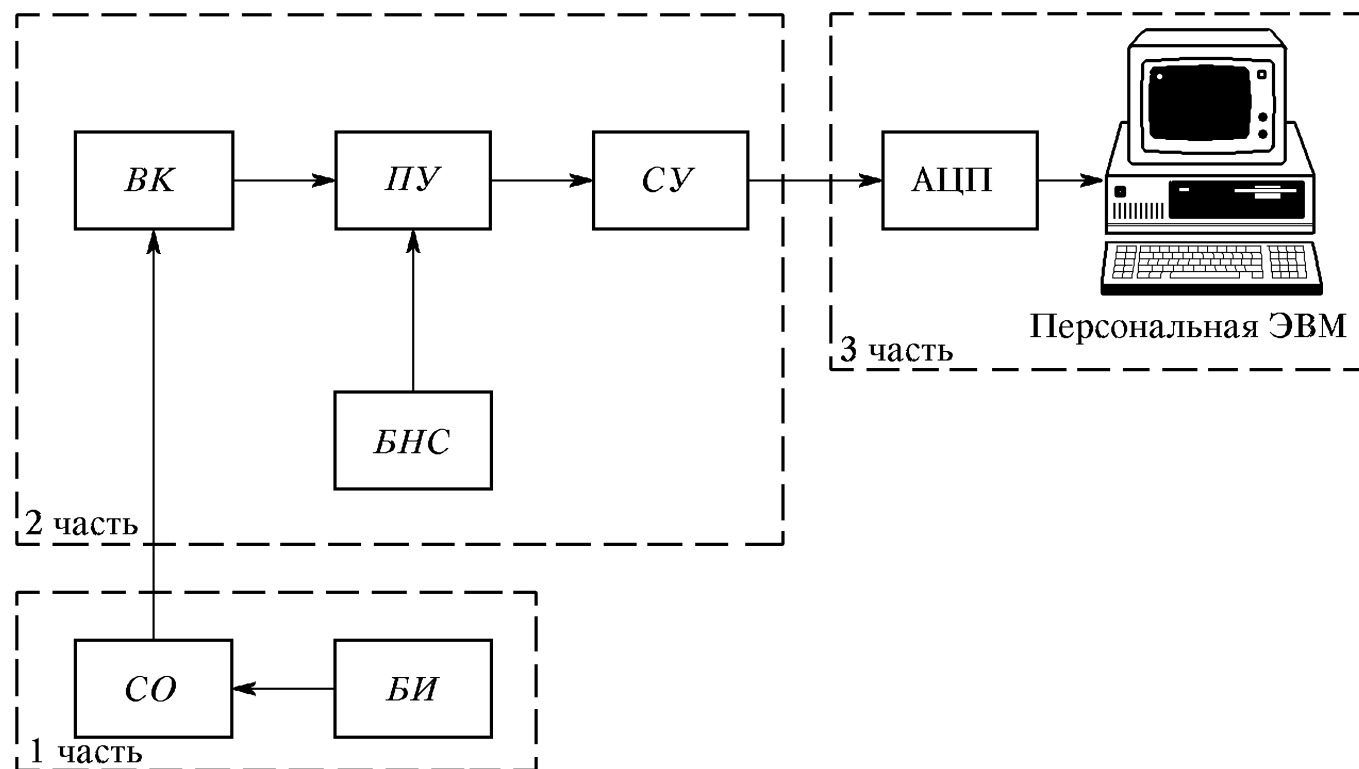


Рис. 4: Блок-схема спектрометра  $\alpha$ -излучения

При использовании детектора в спектрометрических целях особое значение приобретает его разрешающая способность, т. е. ширина кривой распределения импульсов по амплитудам при строго постоянной энергии регистрируемых частиц. Форма такой кривой распределения обычно бывает близка к кривой ошибок (гауссовой кривой)

$$W(U)dU = \frac{1}{\sqrt{2\pi}\sigma} e^{-(U-U_0)^2/(2\sigma^2)} dU \quad (5)$$

здесь  $U_0$  — среднее значение амплитуды импульсов,  $U$  — конкретное значение этой амплитуды,  $W(U)dU$  — вероятность того, что при энергии частицы  $E$  амплитуда измеренного импульса заключена между  $U$  и  $U + dU$ ,  $\sigma$  — параметр, определяющий ширину распределения (средне-квадратичное отклонение).

Распределение (5) имеет вид колокола с максимумом при  $U = U_0$ . Разрешающую способность спектрометра определяют по величине  $\delta$  — ширине кривой  $W(U)$ , измеренной на половине высоты. Энергетическим разрешением спектрометра обычно называют величину

$$R = \frac{\delta}{U_0} \cdot 100\% \quad (6)$$

Нетрудно найти связь между  $\delta$  и  $\sigma$ :

$$\delta = 2\sqrt{2 \ln 2} \sigma \quad (7)$$

Одной из основных причин, вызывающих разброс импульсов по амплитуде, является статистическая флуктуация числа электрон-дырочных пар, создаваемых падающей частицей. Среднее число пар  $N$  равно

$$N = E/\mathcal{E}_{\text{ср}} \quad (8)$$

где  $E$  — энергия, теряемая частицей в детекторе, а  $\mathcal{E}_{\text{ср}} = 3.6$  эВ — энергия, необходимая для создания пары электрон-дырка. Среднеквадратичное отклонение  $\sigma$  равно

$$\sigma = \sqrt{N} = \sqrt{E/\mathcal{E}_{\text{ср}}} \quad (9)$$

Вклад флуктуаций числа пар в энергетическое разрешение

$$R_{\text{флук}} = \frac{\sigma}{N} \cdot 100\% = \sqrt{\frac{\mathcal{E}_{\text{ср}}}{E}} \cdot 100\% \quad (10)$$

Другим источником разброса импульсов является шум электрических цепей. Прежде всего, это шум, создаваемый токами утечки, возникающими из-за термической генерации электрон-дырочных пар в обедненном слое детектора, а также шум первого усилительного каскада — чем меньше шум, вносимый схемами измерений, тем ближе энергетическое разрешение спектрометра к флуктуационному, определяемому формулой (9).

Плата АЦП преобразует электрические аналоговые импульсы в цифровой код, который записывается в память ЭВМ. На экране ЭВМ наблюдается зависимость числа поступающих импульсов от их амплитуды, т. е. энергетический спектр испускаемых источником  $\alpha$ -частиц.

## 4 Результаты измерений и обработка данных

1. Включим установку, убедимся что в вакуумной камере нет других источников излучения. Проведем измерения для образцов и убедимся, что детектор не регистрирует частицы (фоновое излучение пренебрежимо мало)
2. Проведем измерения со всеми образцами:  $^{226}_{88}\text{Ra}$ ,  $^{241}_{95}\text{Am} + ^{230}_{90}\text{Th}$ ,  $^{239}_{94}\text{Pu}$  и  $\text{U}_{\text{пр}}$ . Экспортируем данные в таблицу, после чего определим положения спектров гауссовым приближением. Запишем положения пиков и погрешности в таблицу 1.

Положения и погрешности определим по формулам:

$$N = \frac{\sum_i x_{\text{канал}}^i \cdot N_{\text{частиц}}^i}{\sum_i N_{\text{частиц}}^i}, \quad \sigma_N = \sqrt{\frac{\sum_i (x_{\text{канал}}^i - N)^2 \cdot N_{\text{частиц}}^i}{\sum_i N_{\text{частиц}}^i}} \quad (11)$$

	$N_1$	$\sigma_{N_1}$	$N_2$	$\sigma_{N_2}$	$N_3$	$\sigma_{N_3}$	$N_4$	$\sigma_{N_4}$
Ra	1677.3	0.2	1921.9	0.2	2098.4	0.2	2674.6	0.2
Am + Th	1647.7	0.2	1926.8	0.3				
Pu	1811.7	0.2	1927	1				
U	1436	2	1621	2				

Таблица 1: Положения спектров для различных образцов

3. Проведем калибровку по энергиям пиков для  $^{226}_{88}\text{Ra}$ : построим калибровочный график зависимости номера канала  $N_i$  от энергии  $\alpha$ -частицы  $E_i$ , используя значение для энергий при распаде  $^{226}_{88}\text{Ra}$ . Изобразим его на рис. 5.

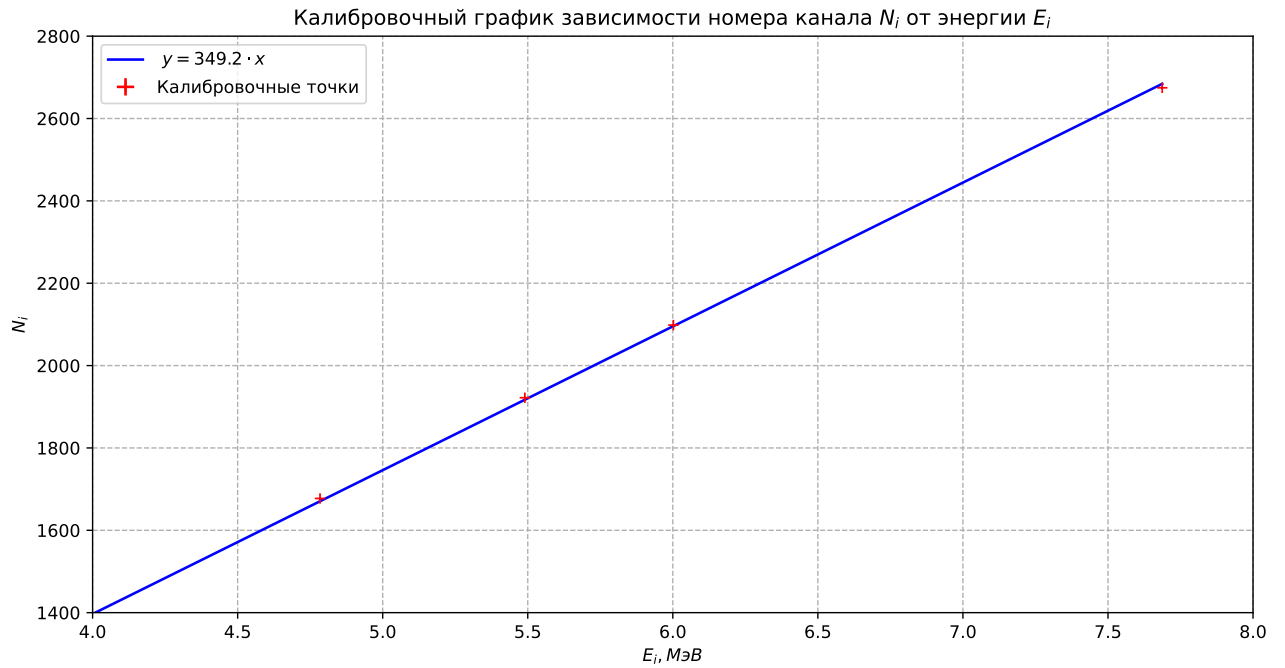


Рис. 5: Калибровочный график зависимости  $N_i = \alpha E_i$

По углу наклона прямой найдем коэффициент  $\alpha$  (погрешность вычислим из МНК):

$$\alpha = (349.2 \pm 0.6) \text{ МэВ}^{-1}$$

Прокалибруем все измерения и изобразим спектры на рис. 7, 8, 9 и 10 и отметим на них положения пиков.

4. Используя калибровочный график, определим для всех остальных пиков значения энергии пиков  $E_i$ , их ширину  $\Delta E_i$  и энергетическое разрешение  $R_i = \Delta E_i / E_i$ . Результаты запишем в таблицу 2.

источник	$N_i$	$\Delta N_i$	$E_i$ , МэВ	$\Delta E_i$ , МэВ	$\sigma_E$ , МэВ	$R_i$	$\sigma_{R_i}$
Am + Th	1647.7	24.6	4.72	0.07	0.01	0.015	0.002
Am + Th	1926.8	25.8	5.52	0.07	0.01	0.013	0.002
Pu	1811.7	23.6	5.19	0.07	0.01	0.013	0.002
Pu	1927	17.2	5.52	0.05	0.01	0.009	0.002
U	1435	66.5	4.11	0.19	0.01	0.046	0.003
U	1621	106.6	4.64	0.31	0.01	0.066	0.005

Таблица 2: Вычисление энергий пиков и их энергетического разрешения

Погрешность  $E$  вычислим по формуле:

$$\sigma_E = E \sqrt{\left(\frac{\sigma_N}{N}\right)^2 + \left(\frac{\sigma_\alpha}{\alpha}\right)^2}$$

И запишем в таблицу 2. Погрешность  $R$  вычислим аналогично и запишем в таблицу 2.

5. Определим энергетическое разрешение при распаде  $^{226}_{88}\text{Ra}$ , связанное с флуктуацией числа образующихся электронно-дырочных пар, которые создаются  $\alpha$ -частицей в детекторе.

$$R_{\text{фл}} = \frac{1}{\sqrt{N}} = \sqrt{\frac{E}{E_{\text{ср}}}}, \quad (12)$$

где  $E_{\text{ср}} = 3.6$  эВ – средняя энергия создания пары электрон-дырка. Тогда посчитаем разницу энергетического разрешения  $\Delta R$ , связанную с шумом в электрической цепи детектора:

$$\Delta R = R_i - R_{\text{фл},i} \quad (13)$$

и запишем в таблицу 3. Погрешность посчитаем через частные производные

Номер пика	1	2	3	4
$\Delta R \cdot 10^6$	867	810	774	684
$\sigma_{\Delta R} \cdot 10^6$	6	6	5	5

Таблица 3: Вычисление энергетического разрешения, связанного с флуктуацией числа электронно-парочных дыр

Тогда  $\Delta R$  вычислим как среднее, а погрешность как стандартное среднеквадратичное отклонение:

$$\Delta R = (13 \pm 3) \cdot 10^{-3}$$

6. Проверим выполняется ли закон Гейгера-Неттола. Построим график зависимости  $\lg T_{1/2}$  от  $1/\sqrt{E_{\alpha}}$  для  $^{226}_{88}\text{Ra}$ .

Запишем периоды полураспада в таблицу 4.

	1	2	3	4
$T_{1/2}, \text{ с}$	$5.1 \cdot 10^{10}$	$3.3 \cdot 10^5$	$1.87 \cdot 10^2$	$1.63 \cdot 10^{-4}$

Таблица 4: Периоды полураспада для дочерних ядер  $^{226}_{88}\text{Ra}$

Если закон выполняется, то зависимость имеет вид:

$$\lg T_{1/2} = \frac{a}{\sqrt{E_{\alpha}}} + b,$$

где  $a \simeq 1.6Z = 141$  и  $b \simeq -1.6Z^{2/3} - 21.4 = -53$ ,  $Z = 88$ . График изобразим на рис. 6, так же изобразим прямую с теоретически предсказанными коэффициентами.

Коэффициенты:

$$a = (150 \pm 9), \quad b = (-58 \pm 4)$$

Посчитаем метрику  $\chi^2$ , чтобы определить, выполняется ли закон:

$$\chi^2 = \sum \frac{(y - \hat{y})^2}{\sigma_y^2 + \sigma_{\hat{y}}^2}$$

где,  $y$  - значения экспериментальных точек,  $\hat{y}$  - аппроксимация,  $\sigma_y$  и  $\sigma_{\hat{y}}$  - погрешности  $y$  и  $\hat{y}$  соответственно.

$$y = \log T_{1/2}, \quad x = \frac{1}{\sqrt{E_{\alpha}}}$$

Погрешности:



$$\sigma_y = \left| \frac{\partial y}{\partial T_{1/2}} \right| \sigma_{T_{1/2}} = \frac{1}{\ln 10} \varepsilon_{T_{1/2}}$$

$$\sigma_z = \left| \frac{\partial x}{\partial E_\alpha} \right| \sigma_{E_\alpha} = \left( \frac{1}{2} E_\alpha^{-3/2} \right) \sigma_{E_\alpha} = \frac{x}{2} \varepsilon_{E_\alpha}$$

Для аппроксимации:

$$\hat{y} = ax + b, \quad \sigma_{\hat{y}} = \sqrt{\left( \frac{\partial \hat{y}}{\partial x} \right)^2 \sigma_x^2 + \left( \frac{\partial \hat{y}}{\partial a} \right)^2 \sigma_a^2 + \left( \frac{\partial \hat{y}}{\partial b} \right)^2 \sigma_b^2} = \sqrt{a^2 \sigma_x^2 + x \sigma_a^2 + \sigma_b^2}$$

Тогда получаем:

$$\chi^2 \approx 0.03$$

Так как значение метрики  $\chi^2$  ниже 1, то можно утверждать, что закон выполняется с хорошей точностью.

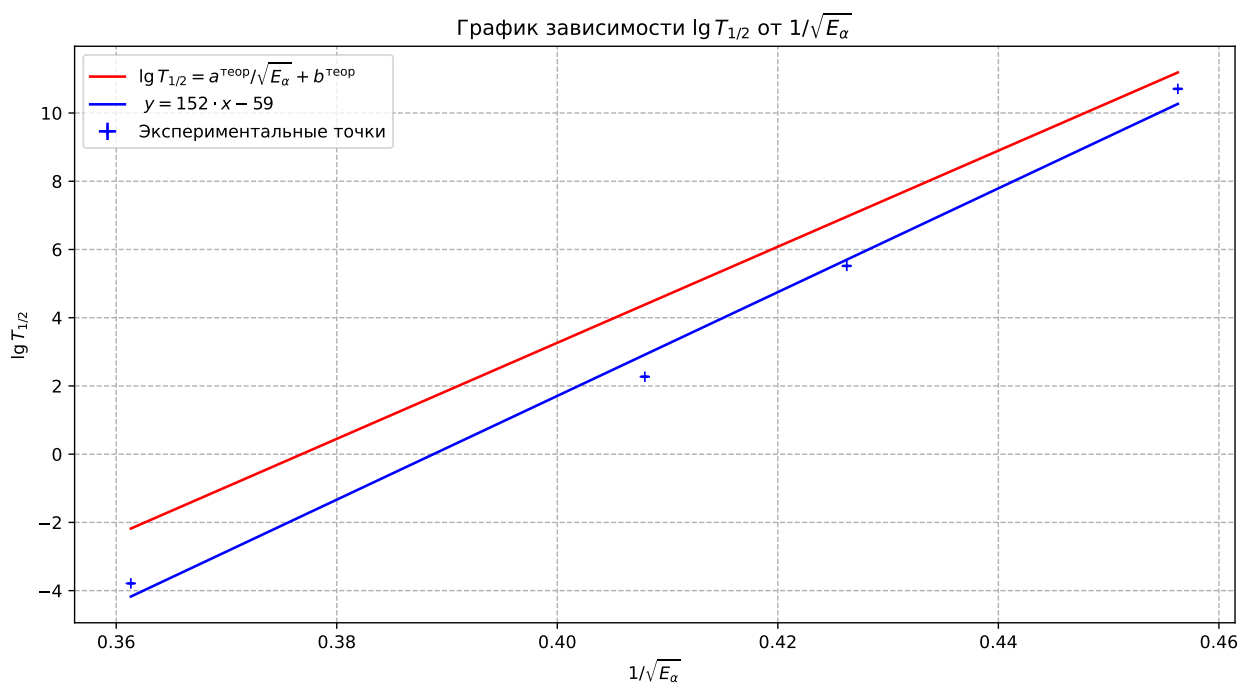


Рис. 6: График зависимости  $\lg T_{1/2}$  от  $1/\sqrt{E_\alpha}$

## 5 Выводы

1. Получены спектры  $\alpha$ -частиц, испускаемых изотопами:  $^{226}_{88}\text{Ra}$ ,  $^{241}_{95}\text{Am}$  +  $^{230}_{90}\text{Th}$ ,  $^{239}_{94}\text{Pu}$  и  $\text{U}_{\text{пр}}$ .
2. Была определена энергия  $\alpha$ -частиц и энергетическое разрешение.
3. Было проверено, что выполняется закон Гейгера-Неттола.

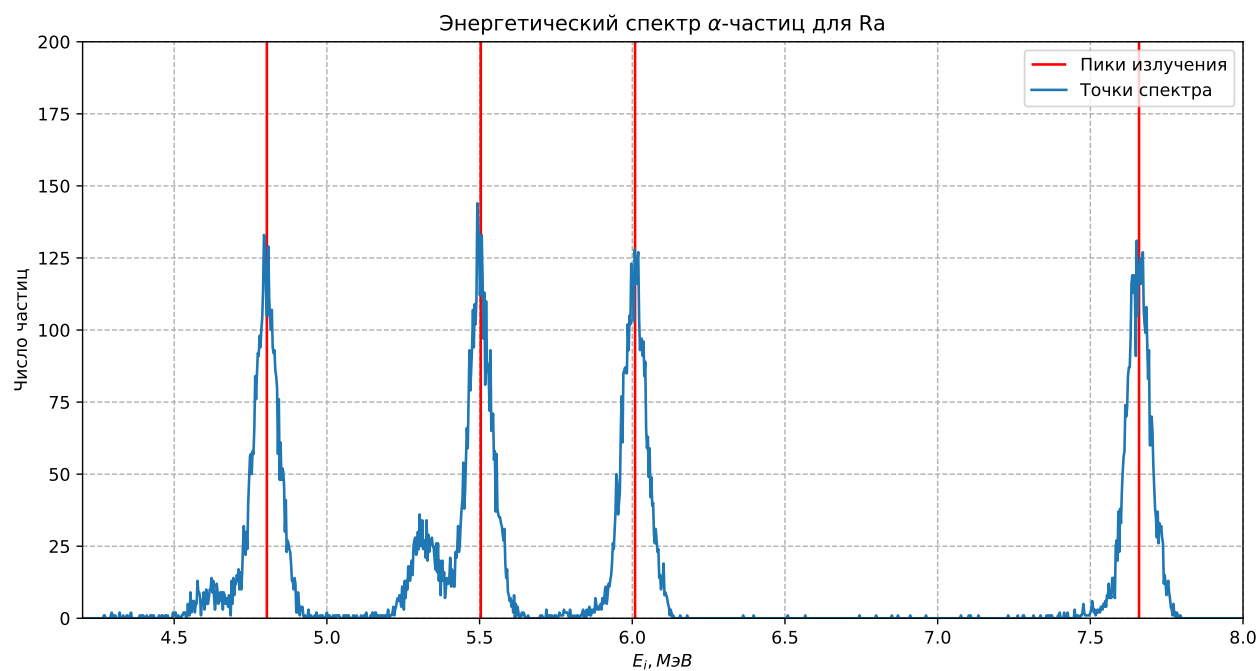


Рис. 7: Спектр  $\alpha$ -излучения для  $^{226}_{88}\text{Ra}$

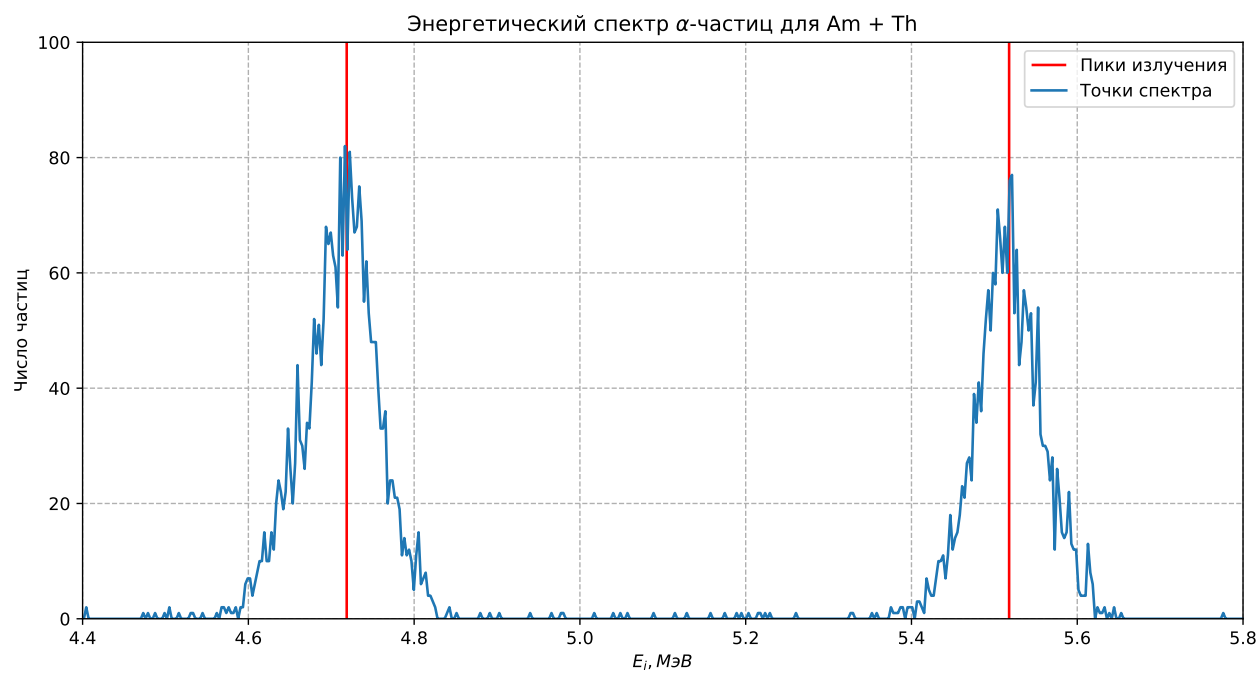


Рис. 8: Спектр  $\alpha$ -излучения для  $^{241}_{95}\text{Am} + ^{230}_{90}\text{Th}$

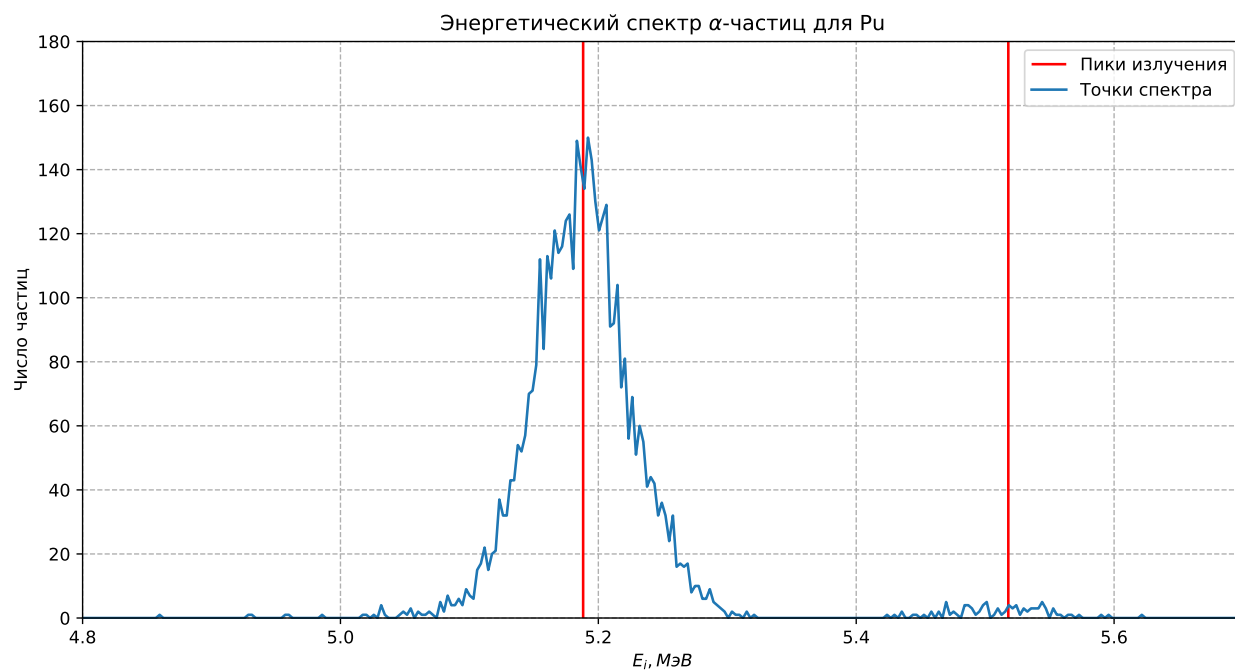


Рис. 9: Спектр  $\alpha$ -излучения для  $^{239}_{94}\text{Pu}$

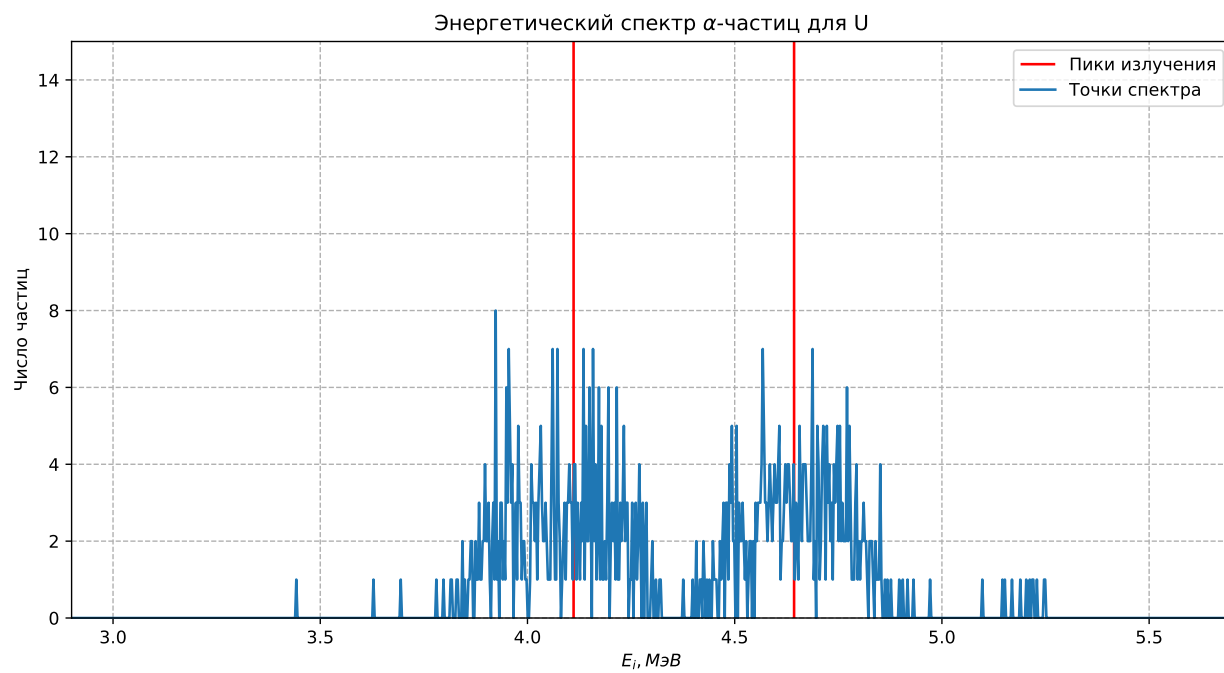


Рис. 10: Спектр  $\alpha$ -излучения для  $U_{np}$